

『報文』 HWAHAK KONGHAK Vol. 21, No. 6, December 1983, pp. 283-292
 (Journal of the Korean Institute of Chemical Engineers)

코발트 이온교환 mordenite 觸媒에 依한 O-Xylene 異性質化反應

車 國 憲 · 金 英 傑
 韓國科學技術院 化學工學科

(1983년 3월 16일 접수)

O-Xylene Isomerization Using Cobalt Ion Exchanged Mordenite

Kook-Heon Char and Young-Gul Kim

Department of Chemical Engineering,
 Korea Advanced Institute of Science & Technology,
 P.O. Box 150, Chongyangni, Seoul 131, Korea

(Received; March 16, 1983)

要 約

Cobalt 이온교환된 mordenite를 사용하여 O-Xylene의 異性質化反應을 壓力, 觸媒의 前處理過程 및 反應 雾圍氣를 바꾸어가며 研究하였다.

常壓때와 달리 高壓에서는 水素 雾圍氣下에서 觸媒의 非活性化가 않일어 났으며 異性質化 選擇度가 낮아졌다.

水蒸氣處理한 觸媒는 乾燥空氣處理한 觸媒에 比하여 活性은 높으나 選擇度는 낮아졌음을 보았다. 反應雾圍氣는 coke 形成에 影響을 미쳤다. 壓力에 關係없이 窒素와 헬륨 雾圍氣에서는 水素雾圍氣에 比하여 빠른 非活性化가 일어났으며 1,3,5-TMB의 急激한 減少가 일어나며 그에 따라 1,2,3-TMB도 줄어 들었다.

ABSTRACT

The isomerization of o-xylene on cobalt-exchanged catalyst was studied by varying the pressure, pretreatment conditions and the reaction atmosphere.

Compared with the low-pressure(1 atm) operation, high pressure operation (180.7 psia) gave lower isomerization selectivity, but no deactivation.

Steamtreatment of the catalyst resulted in higher activity and lower selectivity than the dry air treatment.

Reaction atmosphere had an effect on coke formation. Regardless of pressure, nitrogen and

helium atmosphere speeded up the deactivation process, and resulted in rapid decrease in 1,3,5-TMB formation and also decreased the amount of 1,2,3-TMB formed.

1. 結論

化學中間體로서의 xylene, 특히 p-xylene과 o-xylene의 수요가增加하자熱力學的으로 가장 안정한 m-xylene을 p-xylene과 o-xylene으로 바꾸는異性質化反應이異性質體의分離와 같이重要하게되었다. 따라서 Isolene Process¹⁾, Octafining Process²⁾등이개발되었고均一相 Friedel-Craft型觸媒에서非均一相 Silica-Alumina를거쳐1970年代에이르러서는 Zeolite가널리사용되고있다. Zeolite는특이한結晶構造와形狀選擇度³⁾,넓은酸點分布등에의한觸媒的성질때문에지금까지도많은研究가진행중에있다.

carbonium이온에의한異性質化反應機構도여러가지가제안되었으며,^{4),5)}異性質化뿐만아니라副反應인disproportionation,加水素分解反應등에對한反應行路를糾明하려고많은研究가行하여졌다.⁴⁾또한,非活性化的主要因인coke形成原因과메카니즘을규명하려고많은研究가행해졌으며,^{6),7),8)}이것을觸媒내의OH基⁹⁾나觸媒의構造^{10),11),12)}에聯關시켜說明하였다. 그러나, 거의모든文獻들이常壓反應을통해모든觸媒에대한解釋을내리고있고高壓反應에대한結果는매우적은편이다. 따라서本研究에서는cobalt이온交換된mordenite를두가지前處理를거쳐常壓뿐만아니라,180.7psia에서의異性質化反應을시켜나온result를非活性화와結附시켜解析하고자한다. 이것은zeolite作用의또다른단면을보여줄것이다.

2. 實驗

2.1. 觸媒製造

Norton社에서구입한Zeolon900Sodium

mordenite를使用하였다. 우선 sodium型을ammonium chloride溶液을使用하여다섯차례반복하여濃度를바꾸어가면서작기24時間동안이온交換시켜ammonium型으로만들었다.蒸溜水로鹽素이온이검출되지않을때까지洗滌한다음,cobalt nitrate溶液으로濃度와이온交換時間은바꾸어가면서이온交換을시키고alkali fusion을시켜atomic absorption spectrometer로이온交換된量을測定하였다. 이렇게얻어진觸媒를다음의두가지方法으로前處理하였다.

2.1.1. 乾燥空氣中の燒成

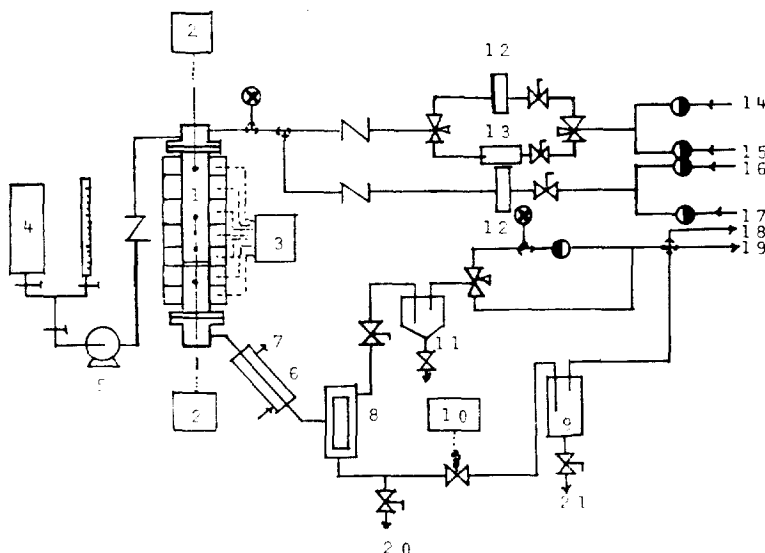
Molecular sieve로정제된乾燥空氣를500°C로유지된爐속의vycor tube내에충진된觸媒層을100l/hr의流速으로15時間동안흘려보냈다. 또한常溫까지溫度를낮출때도乾燥空氣를흘려보내면서냉각시켰다.

2.2. 水蒸氣處理

乾燥空氣로燒成된觸媒를다시5時間동안500°C로유지된爐에서90%相對濕度(수증기분압=0.4133psia)를지닌濕潤空氣로100l/hr의流速으로흘려보냈다. 마찬가지로常溫으로溫度를낮출때는乾燥空氣를흘리면서냉각시켰다.

2.2. 實驗裝置 및 節次

200psia까지의壓力에서反應을시킬수있도록모든배관과연결부는stainless steel을使用하였다. 實驗에사용된장치의概略圖를Fig. 1에나타내었다. 反應pressure를조절하기위해back pressure regulator(Fisher Controls Company; Type 98 H)를使用하였고o-xylene을높은pressure에서도反應器내로供給해주기위해teflon diaphragm type의高壓用metering pump(Pulsafeeder Interpace Corporation)을使用



1. Reactor
 2. Temperature Recorder
 3. Temperature Controller
 4. Reactant Feed Tank
 5. Feed Pump
 6. Condenser
 7. Cooling Water
 8. High Pressure Separator
 9. Low Pressure Separator
 10. Timer
 11. Gas Reservoir
 12. Rotameter
 13. Digital Flowmeter
 14. Hydrogen Generator
 15. Hydrogen Cylinder
 16. Nitrogen Cylinder
 17. Air Line
 18. Vent
 19. Gas Sampling
 20. Sampling for Lw Pressure Product
 21. Sampling for High Pressure Product
- ☒ Pressure Gauge ● Pressure Regulator
 ○ Back Pressure Regulator
 ↗ Check Valve △ Three Way Valve
 ✕ Needle Valve □ Ball Valve

Fig. 1. Schematic Diagram of CATATEST System

하였고, 반응물인 液體 o-xylene의 流速은 feed tank 옆에 부착된 뷔렛으로 측정하였다.

carrier gas로는 水素, 窒素와 헬륨을 使用하였다. 水素의 경우, 高壓 반응의 경우는 cylinder水素를 직접 使用했으며, 常壓 反應 및 活性화 時는 물을 電氣分解하여 水素를 얻을 수 있는

水素發生機(Teledyne Energy Systems; Model HG 1001)를 使用하였고 窒素와 헬륨의 경우는 모두 高純度 실린더 가스를 使用하였다. carrier gas의 流速을 測定하고 調節하기 위해 digital thermal mass flowmeter(Brooks Instrument; Model 5815)를 使用했다.

反應器는 内徑이 2.1 cm이고 길이가 73.5 cm인 stainless steel pipe 를 사용하였는데, stainless steel gauze 를 使用해 원하는 位置에 觸媒를 고정시킬 수 있었다. 反應 溫度는 thermowell 속에 박힌 thermocouple(Chromel-Alumel型)을 통해 測定하였으며, controller 를 使用하여 원하는 反應 溫度에서 ± 1°C의 오차를 가지고 제어할 수 있었다. 기타 자세한 내용은 다른 곳을 參考하기 바란다.¹³⁾

觸媒를 活性化 시키자마자 곧바로 反應物을 넣어 *in situ*로 反應을 시켰다.

活性化 條件과 反應 條件을 *Table 1* 과 *Table 2*에 나타냈다.

Table 1. Catalyst Activation Conditions.

| | |
|--------------------------|-------------------|
| H ₂ flow rate | 7500cc/gcat/hr |
| Temperature | 450°C(14) |
| Duration | over 15 hours(15) |

Table 2. Reaction Conditions for o-Xylene Isomerization.

| | |
|--------------------------------|-------------------|
| Temperature | 400°C |
| LWHSV | 5.8 gfeed/hr/gcat |
| H ₂ /HC molar ratio | 5.5 |
| Catalyst Loading | 2.804 g |
| Particle Size | 20–25mesh |

일정한 시간간격 사이에 冷却機와 分離機를 거쳐 얻어진 生成物은 liquid auto sampler(Hewlett-Packard; Model 7671 A)로 裝備된 gas chromatograph(Hewlett-Packard; Model 5840A)로 分析하였다. 分析에 使用된 packing material은 chromosorb W(80~100 mesh)에 5% Benton 34 와 5% dinonyl phthalate를 입힌 것이다.

反應物로는 Wako社 제품의 Extra pure o-xylene을 使用하였는데 sodium 還原剂를 넣어少量의 包含된 물을 除去하고 여과자로 여과하였다.

* CoHM(6.5)는 cobalt ion exchange percentage 가 6.5인 hydrogen cobalt mordenite를 의미한다.
+ small "s"는 steam 처리 된 것을 의미한다.

여 使用하였다. 이렇게 얻어진 反應物을 가스ک로마토그라프로 측정했더니 純度가 99.9% 以上이었다.

反應 實驗 外에 X-ray powder diffraction, 觸媒 表面積과 ammonia gas를 使用한 temperature programmed desorption(TPD)을 데이터 解析을 위해 사용했으며 TPD의 경우 再吸着(readsorption), 時間遲延(time lag), 擴散影響(diffusion effect) 등이 除去될 수 있는 條件下에서 測定하였다.

3. 結果 및 考察

3.1. Data 處理

一般的으로 복잡한 反應系에서는 많은 生成物이 얻어지므로 얻어진 結果를 解析하기 위해서는 적절한 定義를 내려야 한다.

우선 觸媒의 活性을 나타내는 方法으로 총 轉換率이나 反應 速度 常數를 使用하는데 複雜한 反應系에서는 총 轉換率을 活性度(Activity)로 使用한다. 즉,

$$\text{Activity} = 1 - X_0$$

여기서 X_0 는 生成物에서의 o-xylene mole 分率이다.

원하는 反應이 副反應에 비해 얼마나 進行되는 가를 알기 위해서는 選擇度(Selectivity)의 定義가 必要하다. 本 實驗에서는 다음과 같이 選擇度를 定義하였다.

$$\text{Isomerization Selectivity} = (X_m + X_p) / \text{Total Conversion}$$

여기서 X_m , X_p 는 生成物의 m-, p-xylene mole 分率이다.

3.2. 高壓과 低壓 特性의 比較

*Fig. 2*는 水素 雾圍氣 下의 CoHM(6.5)*에 대한 常壓 및 180.7 psia에서의 反應과 CoHMs+(6.5)에 대한 常壓 反應 結果를 나타낸 것이다. 高壓 反應에서는 非活性化가 反應 時間에 따라 일어나지 않고 活性이 계속 유지 되고 있으나,

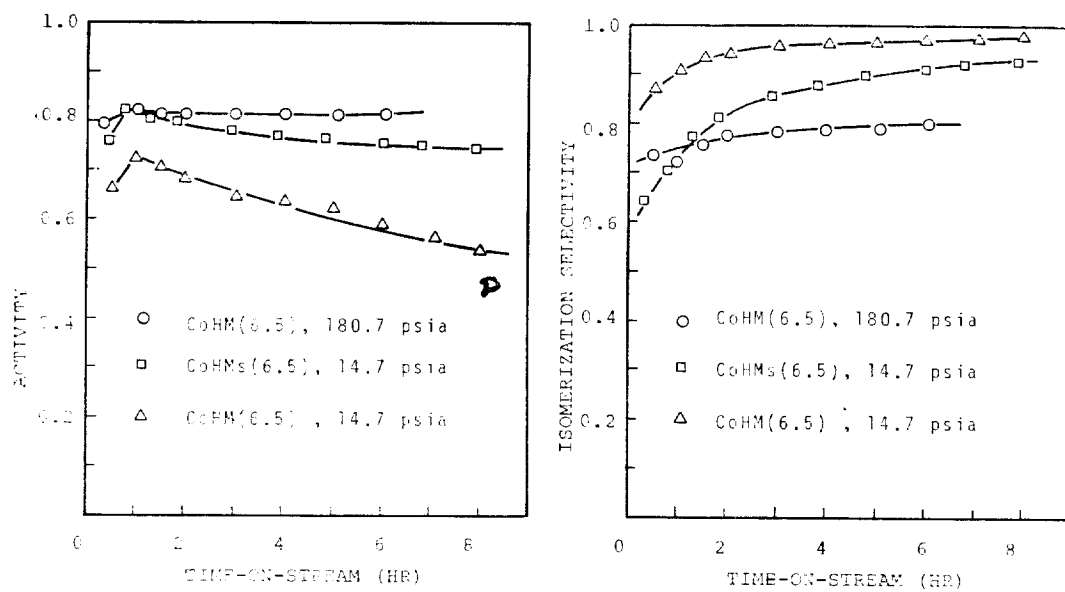


Fig. 2. Comparison of Low and High Pressure Reaction Behavior

異性質化의 選擇度는 낮은 値에서 固定되어 있다. 이와 반면, 常壓 反應에서는 전조 공기 처리된 Zeolite 가 水蒸氣 처리된 Zeolite 보다 빨리 非活性化되고 있으며 두 가지 觸媒 모두가 反應時間이 지남에 따라 異性質化 選擇度가 적은 值에서 큰 值으로 移動해 가고 있다.

Fig. 3 은 CoHM(6.5)에 대한 TMB(Trimethylbenzene) 異性質體의 normalized distribution을 나타낸 것인데 高壓 反應에서는 xyl-

ene 과 TMB 異性質體, 모두가 Hastings 와 Nicholson⁶⁾이 계산한 平衡 分布에 거의 一致하고 있다. 그러나 常壓 反應 경우는 Fisher-Hirschfelder Ta-yolor¹⁷⁾의 계산에 의한 kinetic diameter 가 가장 큰 1,3,5-TMB(8.6Å)가 反應 초기에 빨리 減少하다가 反應이 進行되면서 서서히 減少하였다.

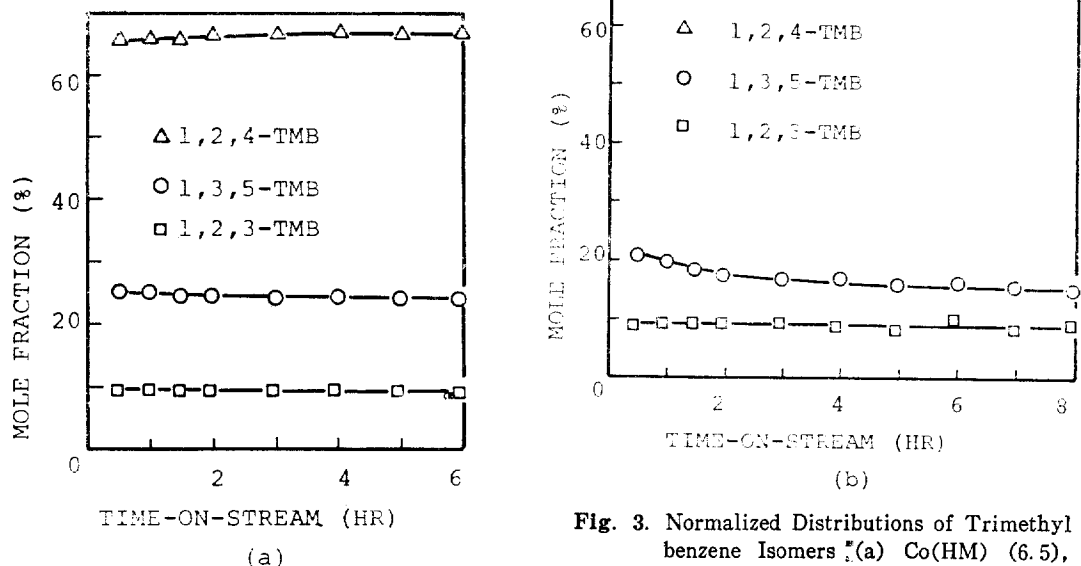


Fig. 3. Normalized Distributions of Trimethylbenzene Isomers (a) Co(HM) (6.5), 180.7 psia (b) Co HM(6.5), 14.7 psia

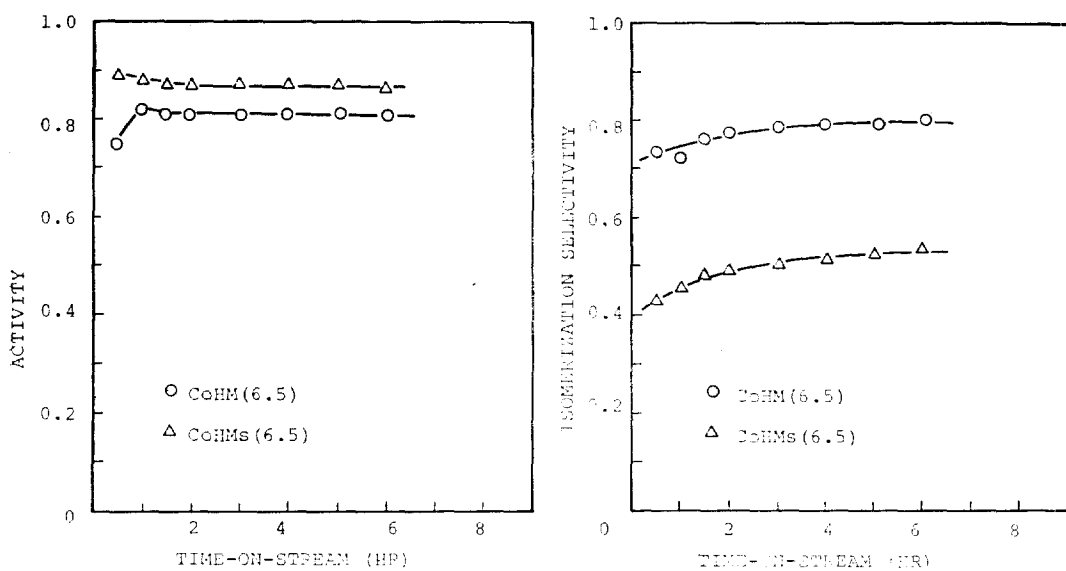


Fig. 4. Pretreatment Effect

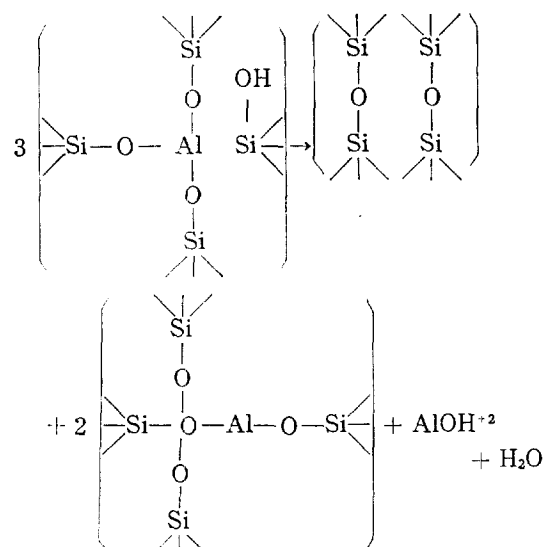
反面에 1,2,3-TMB(8.1\AA)는 거의一定하게 平衡値을維持하고 있었다. CoHMs(6.5)의 경우도 常壓 및 高壓의 경우에 CoHM(6.5)와 같은 경향을 보였다. 위의 結果로 부터 非活性化는 初期 time-on-stream에서 더 빨리 일어난다는 것을 알 수 있고, 이는 후에 나오는 N_2 분위기下의 結果와 高壓 水素 零壓氣下에서의 實驗 結果 解析으로 부터도 알 수 있으며, 또한 Ozawa 등¹⁸⁾의 Voorhies plot¹⁹⁾의 n 값이 두 개 存在한다는 說明을 理解할 수 있다. 기타 상세한 解析은 다음에 설명할 前處理 影響과 結付시켜 하도록 하겠다.

3.3. 前處理 效果

Fig. 4에 CoHM(6.5)와 CoHMs(6.5)의 水素 零壓氣下, 180.7 psia에서 反應시킨 結果를 나타냈다. 水蒸氣 處理된 mordenite가 乾燥 空氣 處理된 觸媒보다 높은 活性을 나타내나 異性質化 選擇度는 상당히 낮은 値을 보이고 있다. 이러한 現象을 常壓 反應의 結果와 結付시켜 說明하도록 하자.

mordenite에 대한 前處理 影響은 $\text{Ha}^{20,21}$ 등에 의해 잘 說明되어 있다. 水蒸氣 處理 또는 酸處理된 mordenite의 IR을 測定한 結果, 1200

cm^{-1} band 까지의 structure sensitive range에서 535~565 cm^{-1} band, 630 cm^{-1} band의 移動과 孤立된 AlO_4 에 의한 710 cm^{-1} band intensity의 減少와 Si-O bond에 의한 새로운 820 cm^{-1} band 形成이 나타났다. X-ray powder diffraction을 測定한 結果, 水蒸氣 處理한 것과 하지 않은 것의 結晶度의 差異가 없는데도¹³⁾ IR結果가 다른 것은 觸媒 表面에서 微小 變化가 일어났음을 意味한다. Ha 등은 위의 IR 結果를



dealumination에 의한 것으로 간주하고 다음과 같은 메카니즘으로 水蒸氣 處理에 의한 dealumination을 설명하였다.

또한 Si-O bond形成은 silicon 移動에 의한 再結晶화를 의미한다. 3500 cm^{-1} band 이상의 hydroxyl 범위에서는 水蒸氣 處理한 것과 하지 않은 것의 뚜렷한 差異가 나타난다. 乾燥 空氣 處理된 mordenite의 경우, 3600 cm^{-1} band 근처에서 하나의 sharp peak만이 나타나고, pyridine 吸着시킨 후의 IR 결과는 1540 cm^{-1} band 근처의 Brönsted 酸點과 1450 cm^{-1} band의 Lewis酸點을 나타냈다. 이것은 大部分의 酸點들이 main channel 內에 存在한다는 것을 의미한다. 왜냐하면, pyridine은 mordenite의 main channel만을 通過할 수 있기 때문이다. 水蒸氣 處理된 mordenite의 경우는 3500 에서 3800 cm^{-1} 에 걸친 넓은 hydroxyl band가 形成되는데 이것은 hydroxyl group과 AlOH^{+2} 또는 $\text{Al}(\text{OH})_2^{+}$ 의相互作用에 起因한 것으로 생각되고 pyridine 吸着을 시켜도 酸點에 큰 변화가 일어나지 않는 것은 main channel內의 酸點의 大部分이 除去되었음을 意味한다. Ha 등²²⁾은 本 實驗과 一致되게 常壓 反應에서 乾燥 空氣 處理된 觸媒가

水蒸氣 處理된 觸媒보다 빠른 非活性化를 일으킨다는 사실과 水蒸氣 處理된 觸媒가 높은活性을 보인다는 點에서 反應 測度에서는 mordenite의 side pocket內의 proton이 main channel쪽으로 移動한다는 說明을 통해 3600 cm^{-1} band 근처의 많은 酸點들은 coke 形成에 관계되고 소량의 酸點들만이 反應에 參여한다고 說明하였다.

Fig. 5는 암모니아 gas를 使用한 temperature programmed desorption의結果인데 CoHM(6.5)가 CoHMs(6.5)보다 強酸點을 많이 가지고 있다. Takaya²³⁾등은 물은 염기성 性質을 가지고 있기 때문에 少量의 물을 添加하면 平均酸點의 세기는 減少하고 그들의 實驗結果로 부터 disproportionation反應을 위한 酸點의 세기가 异性質化反應을 위한 酸點의 세기보다 강하다고 說明했으며 물의 役割은 酸點과의 강한 親和度(affinity) 때문에 coke의 주된 成分인 polymethyldiphenylmethane과 같은 副反應生成物의 脫着을 增加시키는 것이라고 하였다. 또한 Gendy²⁴⁾등과 Takaya²³⁾등은 mass spectra를 使用하여 높은 비점을 가진 副產物에 대한 分析을 통해 disproportionation反應과 coke形成의 주된 成分인 polymethyldiphenylmethane形成反應은 같은 site에서 같은 中間段階를 거쳐 進行된다고 說明하였다. 따라서 常壓反應의 경우, CoHM(6.5)가 CoHMs(6.5)보다 強酸點을 가지고 있으므로 disproportionation反應을 代身하여 더 빠른 非活性化를 보였다. 非活性化에 의해 酸點이 점점 減少됨에 따라 單分子反應인 异性質化反應이 二分子反應인 disproportionation보다 有利하게 되어 Fig. 2에서 보는 것처럼 反應時間이 지남에 따라 异性質化選擇度는 增加하게 된다. 그러나, 高壓反應의 경우 CoHM(6.5)과 CoHMs(6.5)는 둘다 非活性化를 보이지 않고 높은 disproportionation反應生成物이 계속해서 얻어진다. 이러한 現象은 Takaya²³⁾등의 提案을 매우 잘 立證해 주고 있다. 그러나 데이터상으로는 測定上의 제약때문에 非活性化가 나타나지 않을지라도 높은 水素分壓下의 反應에서도 反應初期에는 coke가 形成된다. 이것은 反應을 시킨 후에 觸媒를 꺼내 눈으로 보아

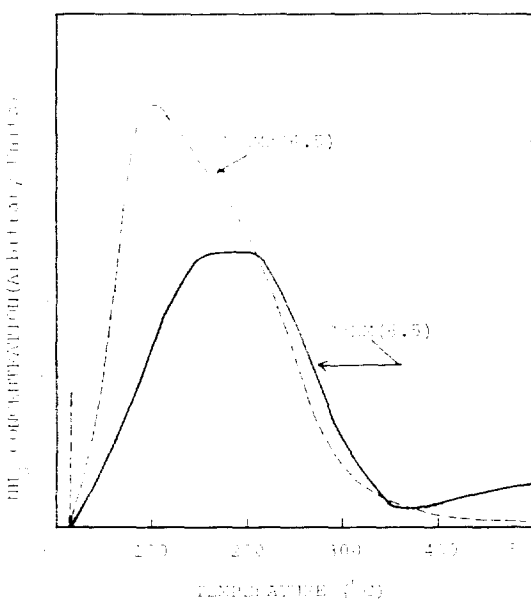


Fig. 5. Temperature Programmed Desorption (TPD) on CoHM(6.5) and CoHMs(6.5)

Table 3. Surface Area Measurements

| Material | Total Adsorbed Volume at STP (cc) | Surface Area (m ² /g) |
|-----------------------------------------------------|-----------------------------------|----------------------------------|
| fresh CoHM(6.5) | 126 | 510.39 |
| coked CoHM(6.5) (LP*, H ₂ ⁺) | 89 | 372.41 |
| coked CoHM(6.5) (HP ⁰ , H ₂) | 93 | 391.76 |

* Low pressure operation(14.7 psia)

° High pressure operation(180.7 psia)

+ Atmosphere

도 알 수 있고, Table 3처럼觸媒表面積을測定해보아도 알 수 있으며空氣를 사용하여再生시킬 때 coke燃燒에 의한溫度上昇을 관찰하는 것에 의해서도確認할 수 있다. 이렇게初期에形成된 coke는常壓反應경우와는 달리 더 이상 퍼지지 않는다. 따라서初期coke形成時강산점을 많이 가진 CoHM(6.5)의酸點이 많이除去되므로비록活性은 CoHM(6.5)보다 다소떨어지더라도異性質化選擇度는 더 크게된다. 따라서本高壓實驗結果의解析은 단순한酸點의量,酸點의세기의觀點에서뿐만 아니라, coke形成에기인한非活性化現象까지도포함해야함을알수있고, 이는 Gendy²⁴등과Takaya²⁵등의제안이本實驗結果를잘說明

해주고 있음을 알 수 있다. 水蒸氣處理에 의해 mordenite의酸點의세기가줄어드는理由는結合強度(bond strength)의見地에서본redisperion現象²⁷에서도알수있다. 즉, 水蒸氣處理한 금속담지촉매의경우, Lewis酸點들과같은酸化點이급격히減少하여酸點세기(acid strength)가減少하게되어금속소결이증가하는반면酸素나鹽素霧圍氣下에서는金屬分散이잘되는점이위의實驗結果를뒷받침해준다. 또한水蒸氣處理된mordenite가높은水素分壓下에서main channel내의酸點이除去되었음에도불구하고더높은活性을보인다는점에서酸點들중일부만이反應에參與한다는것을類推할수있다.

3.4. 反應霧圍氣의效果

Fig. 6은 CoH(6.5)에대한反應霧圍氣의影響를나타낸것이다. 常壓및高壓反應에관계없이窒素와헬륨霧圍氣下에서는매우빠른非活性화를보았다. 또한Fig. 7에서보는바와같이水素霧圍氣下에서와는다르게1,3,5-TMB의急激한減少에뒤따라1,2,3-TMB마저도反應이進行되어감에따라빠르게줄어든다. 이러한結果로부터우리는다음과같은解석을할수있다. 窒素와헬륨을carrier gas로

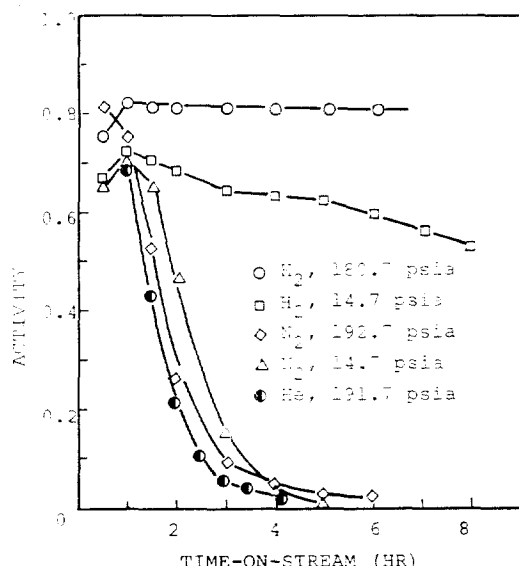
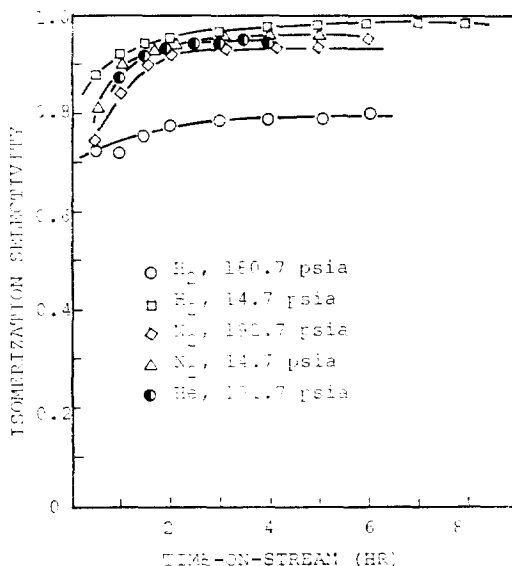


Fig. 6. Reaction Atmosphere Effect



使用하는 경우는 高壓 및 常壓 反應에 관계없이 pore mouth coking이 일어난다. 이것은 헬륨 雾圍氣下에서 전자현미경을 사용하여 coke를 分析한 Butt 등의^{28, 29)}結果에 의해서도 確認될 수 있다. coke precursor가 反應 初期에 pore mouth에 吸着 되었다가 窒素 및 헬륨 下에서 매우 빠른 speed로 coke形成이 전파되어 결국에는 pore 구멍을 막게된다. 따라서 구멍이 막히면 内部의 많은 酸點들까지 反應物이 到達할 수 없으므로 매우 빠른 非活性化가 나타나게 되는 것이다. 水素 雾圍氣下에서의 常壓 反應 경우는 窒素나 헬륨의 경우와는 달리 pore入口에 吸着된 precursor가 수소의 存在 때문에 coke形成을 느리게 하고 Fig. 3의 (b)에서 보는 바와 같이 Fig. 7의 N₂ 분위기 하의 경우처럼 pore入口가 완전히 막히지 않고 8.6 Å 以下 8.1 Å 以上으로 pore入口가 다소 작아지기 때문에 反應物이 다소擴散의 影響을 받지만 main channel 깊숙한 點까지도 到達할 수 있어 비교적 느리게 非活性化된다. 반면 높은 水素 分壓下에서 反應을 시킬 경우, 反應 初期에 coke가 形成되어도 더 이상 퍼지지 않고 coke가 均一하게

전 觸媒內에 分布되어 있어 反應結果에는 전혀 非活性化가 나타나지 않는다. 따라서 異性質化反應에 있어 水素의 役割은 coke形成을抑制할 뿐만 아니라 形成된 coke를 觸媒內에 잘 分散시키는 役割도 한다는 것을 알 수 있다. Gnepp 등은³⁰⁾ benzilic carbonium ion과 같은 coke中間體가 水素와 다음과 같이 反應한다고 說明했다.



또한 coke가 形成되려면 여러 分子들이 同時에 많은 酸點에서 反應해야 하기 때문에 이러한 coke形成反應은 二分子反應인 disproportionation反應보다도 水素存在下에서는 더抑制된다고 했다. 또한 그들은 壓力下에서 水素로 오랜 時間處理하면 coke가 脫着된다고 說明하였다.

4. 結論

水蒸氣處理한 觸媒가 處理하지 않은 觸媒보다 弱酸點을 많이 가지고 있기 때문에 常壓反應에서는 非活性化가 乾燥空氣處理한 觸媒보다 천천히 일어나고 高壓反應에서는 非活性화가 나타나지 않는 代身 水蒸氣處理한 觸媒가 낮은 異性質化選擇度를 보인다는 點에서 disproportionation反應을 위한 酸點의 세기가 異性質化反應을 위한 酸點의 세기보다 강하고 disproportionation과 coke形成은 같은 site에서 같은 中間段階를 거쳐進行한다는 것과, coke는 反應初期에 많이 생기며 水素의 役割은 coke形成을 防止하고 形成된 coke를 觸媒全體에 잘分散되도록 한다는 것을 알 수 있다.

感 謝

本研究에 使用한 mordenite 觸媒를 提供해 주신 漢陽大學校의 河百顯教授와 研究費를 支援해 준 韓國科學財團에 깊은 謝意를 表합니다.

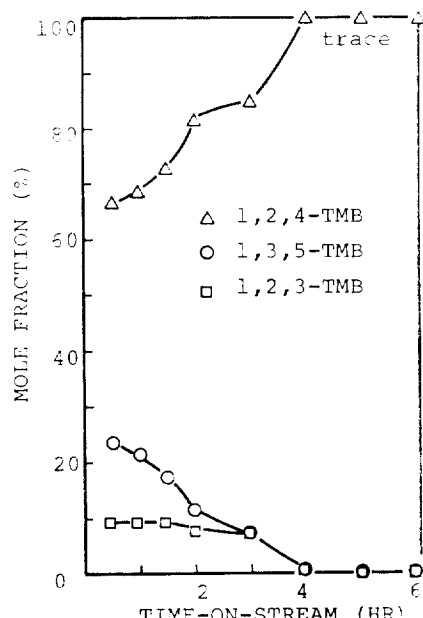


Fig. 7. Normalized Distribution of Trimethylbenzene Isomers Under Nitrogen Atmosphere.
(CoHM(6.5), 192.7 psia)

REFRENCES

1. Seiya Otani et al., Chem. Economy & Eng. Rev., **3**(6), 56(1971).
2. Uhlig, H.F., and Pfefferle, W.C., Advan. Chem. Ser., **97**, 204(1970).
3. Weisz, P.B., and Frilette, V.J., J. Phys. Chem., **64**, 382(1960).
4. Cortes, A., and Corma, A., J. Catal., **51**, 338 (1978).
5. Lanwala, M.A., and Bolton, A.P., J. Org. Chem., **34**(10), 3107(1969).
6. Appleby, W.G., Gibson, J.W., and Good, G.M., Ind. Eng. Chem. Process Des. Dev., **1**(2), 102(1962).
7. Haldeman, R.G., and Botty, M.C., J. Phys. Chem., **63**, 489(1959).
8. Eberly, P.E., Kimberlin, C.N., Jr., Miller, W.H., and Drushel, H.V., Ind. Eng. Chem. Process Des. Dev., **5**(2), 193(1966).
9. Eisenbach, D., and Gallei, E., J. Catal., **56**, 377(1979).
10. Rollmann, L.D., J. Catal., **47**, 113(1977).
11. Walsh, D.E., and Rollmann, L.D., J. Catal., **49**, 369(1977).
12. Rollmann, L.D., and Walsh, D.E., J. Catal., **56**, 139(1979).
13. Char, K.H., M.S. Thesis, KAIST, Seoul, Korea (1983).
14. Penchev, V., Davidova, N., Kanazirev, V., Minchev, H., and Neinska, Y., Advan. Chem. Ser., **121**, 491(1973).
15. Eischens, R.P., in Drauglis, E., and Jaffee, R.I. (ed.), "The Physical Basis for Heterogeneous Catalysis," Plenum, N.Y. (1975).
16. Hastings, S.H., and Nicholson, D.E., J. Chem. Eng. Data, **6**(1), 1(1961).
17. Csicsery, S.M., J. Catal., **19**, 394(1970).
18. Ozawa, Y., and Bischoff, K.B., Ind. Eng. Chem. Process Des. Dev., **7**(1), 67(1968).
19. Voorhies, A., Jr., Ind. Eng. Chem., **37**, 318(1945).
20. Ha, B.H., Guidot, J., and Barthomeuf, D., J. Chem. Soc. Faraday Trans. I, **75**, 1245(1979).
21. Ha, B.H., and Barthomeuf, D., J. Chem. Soc. Faraday Trans. I, **75**, 2366(1979).
22. Ha, B.H., KOSEF Research Report(1982).
23. Takaya, H., Todo, N., Hosoya, T., Oshio, H., and Minegishi, T., Bull. Chem. Soc. Japan, **45**(8), 2337(1972).
24. Gendy, T.S., and Pratt, K.C., Chem. Eng. Sci., **37**(1), 37(1982).
25. Jacobs, P.A., Leeman, H.E., and Uytterhoeven, J.B., J. Catal., **33**, 17(1974).
26. Jacobs, P.A., Leeman, H.E., and Uytterhoeven, J.B., J. Catal., **33**, 31(1974).
27. Lee, T.J., and Kim, Y.G., submitted to PACHEC(1983).
28. Butt, J.B., Diaz, S.D., and Munro, W.E., J. Catal., **37**, 158(1975).
29. Butt, J.B., J. Catal., **41**, 190(1976).
30. Delmon, B., and Froment, G.F., "Catalyst Deactivation," 79, Elsevier Sci. Publ. Co., Amsterdam (1980).